

## СРАВНИТЕЛЬНОЕ ИССЛЕДОВАНИЕ ЛЮМИНЕСЦЕНЦИИ GaAs(Si) ПРИ ФОТО- И ЭЛЕКТРОВОЗБУЖДЕНИИ

Королев В. Л., Сидоров В. Г.

Экспериментально показано, что наблюдаемое различие спектров люминесценции GaAs(Si) при фото- и электровозбуждении не является следствием зависимости механизмов рекомбинации от способа возбуждения, а связано с самопоглощением люминесценции в толще структуры. При этом также установлено, что областью генерации электролюминесценции в светодиодных структурах из GaAs(Si) с концентрацией кремния  $\sim 3 \cdot 10^{18} \text{ см}^{-3}$  является *p*-область в 3–12 мкм от *p*–*n*-перехода.

Эксперимент показывает [1–4], что для *p*–*n*-структур из GaAs(Si) в максимумах спектров фото- и электролюминесценции (ФЛ и ЭЛ) всегда  $h\nu_{\text{ФЛ}} > h\nu_{\text{ЭЛ}}$  независимо от того, в какой части структуры возбуждается ФЛ (при этом ЭЛ обычно измеряется со стороны *n*-подложки). Это различие обычно не связывают с действием толщи структуры на ЭЛ, а авторы работ [3, 4] используют его как повод для рассмотрения различия механизмов рекомбинации при фото- и электровозбуждении. Суть их модели состоит в следующем: возбужденные светом неравновесные носители заряда релаксируют до уровня протекания, откуда рекомбинируют с излучением, тогда как при электровозбуждении носители туннельным способом заполняют в основном наиболее глубокие ямы хвостов плотности состояний (ХПС), что и приводит к  $h\nu_{\text{ФЛ}} > h\nu_{\text{ЭЛ}}$ . Но такая модель вызывает ряд серьезных возражений. Во-первых, невозможно представить туннелирование электронов на расстояния до десятков микрометров, с которыми связывается область генерации ЭЛ [5, 6]. Во-вторых, в диапазоне регистрации ЭЛ на ВАХ *p*–*n*-GaAs(Si) туннельных токов не наблюдается [5, 7]. Если же заполнение ХПС происходит «протеканием» по перевалам потенциального рельефа, то основания для зависимости люминесценции от способа возбуждения исчезают. Кроме того, в предлагаемой модели [3, 4] положение максимума ФЛ при низких температурах не должно зависеть от уровня возбуждения, что противоречит эксперименту [6]. В настоящей работе приводятся экспериментальные данные, показывающие ошибочность модели авторов [3, 4].

Сначала путем сравнительного исследования ВАХ и люменвольтных характеристик структур, а также спектров ЭЛ при различных напряжениях на *p*–*n*-переходе было установлено, что при плотностях тока более  $10^{-3} \text{ А/см}^2$  ЭЛ не связана с диагональным туннелированием [8], а обусловлена рекомбинацией в кванзинейтральной области диода. Отсюда следует, что электрическое поле *p*–*n*-перехода не является причиной различия спектров ЭЛ и ФЛ.

Проверка влияния толщи структуры на спектры ЭЛ может быть выполнена при исследовании распределения ФЛ по толщине структуры, когда регистрация последней поставлена в условия, соответствующие регистрации ЭЛ, а именно со стороны подложки. При этом спектр ФЛ, измеренный в традиционной геометрии «на отражение» (ФЛО), будет характеризовать свойства возбужденного слоя, а отличия от него в спектре, измеренном в геометрии «на просвет» (ФЛП), могут быть приписаны действию толщи структуры. Если в такой геометрии измерений с послойным удалением материала структуры на некоторой глубине  $h$  от поверхности обнаружится идентичность спектральных характери-

стик ФЛП и ЭЛ, то исчезнут основания для различия механизмов люминесценции при электро- и фотовозбуждении, а слой на глубине  $h$  можно будет принять за активную область светодиода. Кроме того, такой эксперимент позволяет сравнивать и определять уровни возбуждения для ФЛП и ЭЛ по величине мощности регистрируемого излучения, избежав приближенной процедуры оценки избыточных концентраций носителей заряда при фотовозбуждении.

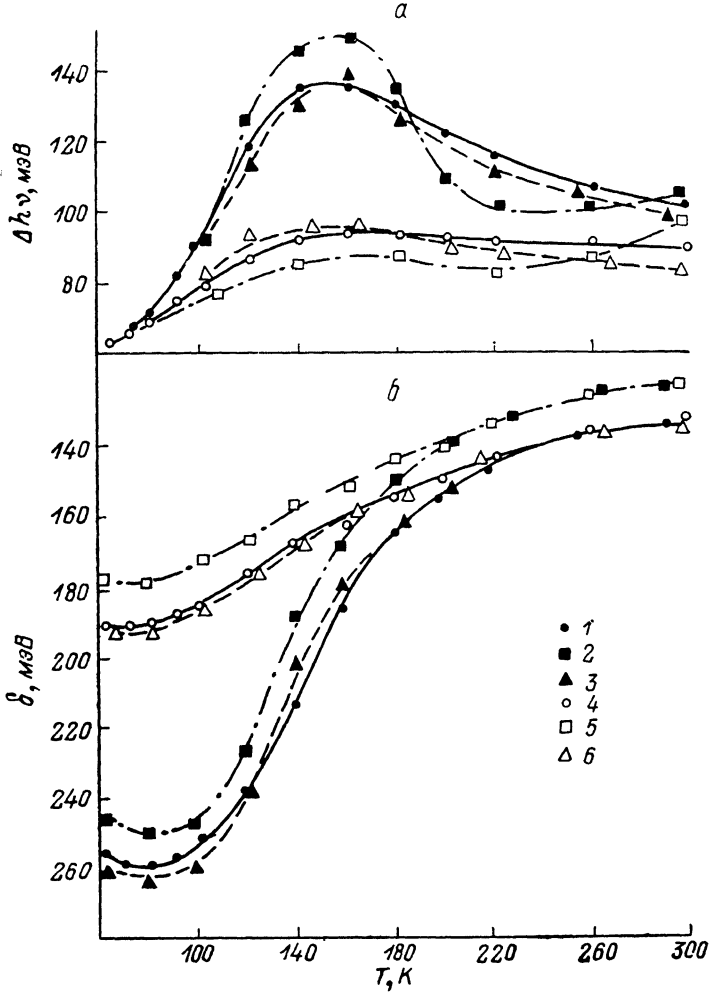


Рис. 1. Температурные зависимости полуширины (а) и дефицита энергии спектрального максимума (б) для спектров электро- и фотолюминесценции при  $h=69$  мкм.

1, 4 – ЭЛ при  $j = 10^{-2}$  и  $3$  А/см $^2$  соответственно; 2, 3 – ФЛО и ФЛП при уровне возбуждения  $\Phi_B = 3 \cdot 10^{17}$  фот/см $^2 \cdot$  с; 5, 6 – то же при  $\Phi_B = 10^{20}$  фот/см $^2 \cdot$  с.

Описанный эксперимент выполнен на структурах GaAs(Si) с концентрацией Si в слоях  $\sim 3 \cdot 10^{18}$  см $^3$  (0.4 вес % в растворе-расплаве). ФЛО, ФЛП и ЭЛ измерялись в интервале температур 64–300 К. ФЛ возбуждалась лазером ЛГ-75 ( $h\nu_B = 1.97$  эВ), плотность возбуждения  $\Phi_B$  изменялась от  $3 \cdot 10^{17}$  до  $10^{20}$  фот/см $^2 \cdot$  с при диаметре светового пятна  $0.1 \div 0.3$  мм. Материал структуры удалялся в полирующим травителе с шагом травления  $1 \div 5$  мкм, при этом на подложку каждый раз наносился защитный слой. На каждом шаге травления  $C-V$ -методом определялась концентрация основных носителей заряда ( $p_0 = N_A - N_D$  или  $n_0 = N_D - N_A$ ). Измерения ЭЛ выполнены на серии из пяти образцов светодиодов с размерами  $\sim 3$  мм $^2$ , изготовленных из той же эпитаксиальной структуры, при плотностях тока  $j = 10^{-3} \div 30$  А/см $^2$ .

Спектры ЭЛ представляли собой одну полосу, форма и положение которой зависели от уровня возбуждения и температуры. Изменения спектральных

характеристик, таких как дефицит энергии спектрального максимума  $\delta_{\text{ЭЛ}}$  относительно ширины запрещенной зоны чистого материала  $E_{\text{г,0}}$  ( $\delta_{\text{ЭЛ}} = E_{\text{г,0}} - h\nu_{\text{ЭЛ}}$ ) и полуширина спектра  $\Delta h\nu_{\text{ЭЛ}}$ , были подробно обсуждены в работе [9]. Их температурные зависимости для двух плотностей тока представлены на рис. 1. Основные закономерности поведения спектров ЭЛ согласуются с известными ранее [2, 6, 7] и заключаются в коротковолновом сдвиге спектра с увеличением плотности тока при  $T < 200$  К, а также в исчезновении токовой зависимости и плавном уменьшении  $\delta_{\text{ЭЛ}}$  при более высоких температурах.

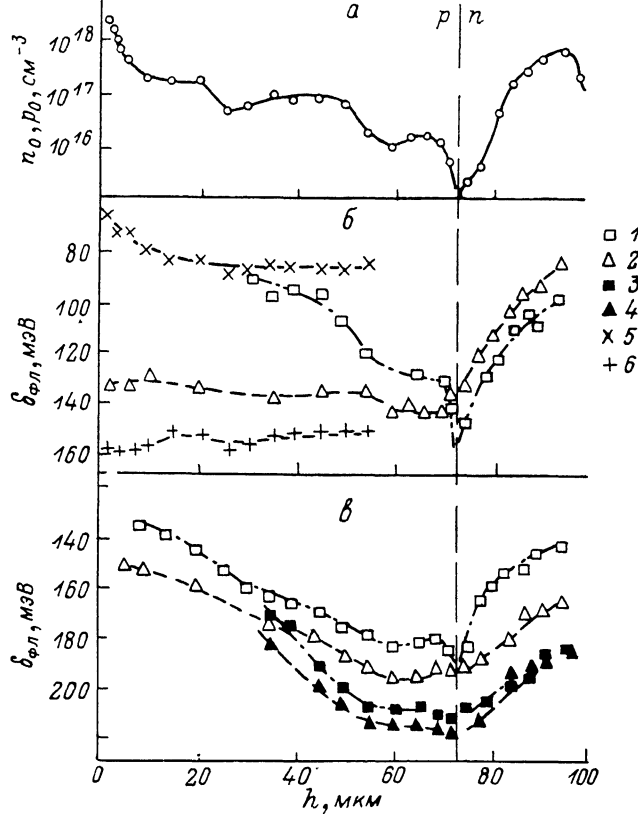


Рис. 2. Координатные распределения концентрации основных носителей заряда при 300 К (а) и дефицита энергии спектрального максимума фотолюминесценции при 300 (б) и 80 К (в). 1, 2 — ФЛО и ФЛП при уровне возбуждения  $\Phi_B = 10^{20}$  фот/см<sup>2</sup>·с; 3, 4 — то же при  $\Phi_B = 6 \cdot 10^{18}$  фот/см<sup>2</sup>·с; 5, 6 — ФЛО, коротковолновая и длинноволновая полосы соответственно.

Спектры ФЛО и ФЛП при изменении трех независимых переменных  $h$ ,  $T$  и  $\Phi_B$  исключительно разнообразны. Характер трансформации спектров в зависимости от всех параметров удобно проследить по изменению дефицита  $\delta$  и полуширины  $\Delta h\nu$  (рис. 2). На рисунке также показаны координатные распределения отдельных полос в спектрах ФЛО там, где было возможно их разделение.

В спектрах ФЛО вблизи  $p$ -поверхности наблюдаются два максимума. Интенсивность коротковолновой (КВ) полосы растет с ростом  $T$  и «следит» за концентрацией дырок  $p_0$  в слое (рис. 2, а), что свидетельствует о связи КВ полосы с рекомбинацией электронов на свободных дырках. При  $h > 35$  мкм, когда  $p_0 < 10^{17}$  см<sup>-3</sup> и интенсивность КВ полосы на порядок и более меньше интенсивности длинноволновой (ДВ) полосы, спектр формируется в основном ДВ полосой, т. е. при  $p_0 < 10^{17}$  см<sup>-3</sup> можно считать, что все дырки локализованы в ХПС.

Спектры ФЛП, как и спектры ЭЛ, всегда однополосны и имеют меньшую полуширину, чем ФЛО, за счет более крутого спада коротковолнового края.

Количественное сопоставление спектров ФЛП и ЭЛ обнаружило полную идентичность их характеристик  $\delta$ ,  $\Delta h\nu$  и  $\epsilon$  ( $\epsilon$  из зависимостей  $\delta_{\text{ФЛП}} = \delta_0 - \epsilon_{\text{ФЛП}} \ln \Phi_B$ ,  $\delta_{\text{ЭЛ}} = \delta_0 - \epsilon_{\text{ЭЛ}} \ln j$ ), когда ФЛП возбуждалась в  $p$ -области на расстоянии  $3 \div 12$  мкм от  $p-n$ -перехода ( $h=60 \div 69$  мкм) (рис. 1). При этом для  $T > 180$  К для данного локального участка структуры  $\delta_{\text{ФЛП}} - \delta_{\text{ЭЛ}} = 10 \div 15$  мэВ, что соответствует результату работ [2, 3]. Уравнивание абсолютных мощностей излучения для ФЛП и ЭЛ путем подбора тока через структуру при одинаковых площадях возбуждаемой области позволило определить соотношения параметров  $\Phi_B$  и  $j$ , приводящих к идентичности спектров ФЛП и ЭЛ (рис. 1), и непосредственно сопоставить уровни фото- и электровозбуждения, не прибегая к приближенным численным оценкам. В пользу идентичности ФЛП и ЭЛ говорит и такой факт: в спектрах ЭЛ и ФЛП для области с  $h=60 \div 69$  мкм интенсивность полосы с максимумом  $\sim 1$  эВ в  $10 \div 100$  раз ниже, чем в ФЛО.

Таким образом, вся совокупность экспериментальных данных свидетельствует о наличии в  $p$ -слое структуры области, для которой спектральные характеристики ФЛП во всем исследованном температурном диапазоне идентичны характеристикам ЭЛ светодиодов и заметно отличаются от ФЛО при одинаковом уровне фото- и электровозбуждения. Это позволяет утверждать, что механизмы рекомбинации при фото- и электровозбуждении идентичны, а наблюдаемое различие спектров ФЛО и ЭЛ вызвано различием условий регистрации и связано с действием толщины структуры. Соответствующая область структуры, где наблюдается идентичность спектров ФЛП и ЭЛ (для исследованных структур это  $p$ -область в  $3 \div 12$  мкм от  $p-n$ -перехода), является областью генерации ЭЛ.

Следует отметить, что при высоких температурах в области структуры  $h > 70$  мкм наблюдается антистоксовский сдвиг спектра ФЛ  $\delta_{\text{ФЛП}} < \delta_{\text{ФЛО}}$  при прохождении излучения через структуру (рис. 2, б). Так как при этом полностью удален  $p$ -слой и возбуждается наиболее узкозонная часть структуры, то сдвиг спектра может быть связан с действием эффекта переизлучения при квазиравновесном распределении носителей заряда, возбужденных самопоглощением. Отсюда следует, что структура не только поглощает излучение, но и является активным фильтром.

#### Л и т е р а т у р а

- [1] Сушкин В. П., Любяницкая Е. Б. — ФТП, 1971, т. 5, в. 12, с. 2257—2264.
- [2] Коваленко В. Ф., Лисовенко В. Д., Марончук И. Е., Прохорович А. В., Тузовский А. М. — Полупроводн. техн. и микроэлектрон., 1978, № 28, с. 41—44; 1978, № 28, с. 45—48.
- [3] Коваленко В. Ф., Прохорович А. В. — Оптоэлектрон. и полупроводн. техн., 1982, № 2, с. 61—64.
- [4] Коваленко В. Ф., Прохорович А. В. — ФТП, 1982, т. 16, в. 11, с. 2064—2065.
- [5] Byer N. E. — J. Appl. Phys., 1970, v. 41, N 4, p. 1597—1601; 1970, v. 41, N 4, p. 1602—1607.
- [6] Аскаров П. А., Дмитриев А. Г., Царенков Б. В. — ФТП, 1977, т. 11, в. 9, с. 1834—1836.
- [7] Бусов В. М., Гореленок А. Т., Марахонов В. М. — ФТП, 1974, т. 8, в. 10, с. 1883—1887.
- [8] Юнович А. Э., Ормонт А. Б. — ЖЭТФ, 1966, т. 51, в. 5, с. 1292—1305.
- [9] Королев В. Л., Россин В. В., Сидоров В. Г., Шалабутов Ю. К. — ФТП, 1985, т. 19, в. 3, с. 525—527.

Ленинградский политехнический  
инstitut им. М. И. Калинина

Получена 7.07.1987  
Принята к печати 16.05.1988